

อัตราส่วนระหว่างสภาพแพร่และสภาพเกลื่อนที่ได้สำหรับสารกึ่งตัวนำที่ถูกโคลปอย่างหนัก



นายเจษฎา ศุภพิทักษ์

สถาบันวิทยบริการ
จุฬาลงกรณ์มหาวิทยาลัย

วิทยานิพนธ์นี้เป็นส่วนหนึ่งของการศึกษาตามหลักสูตรปริญญาวิทยาศาสตรมหาบัณฑิต
ภาควิชาฟิสิกส์

บัณฑิตวิทยาลัย จุฬาลงกรณ์มหาวิทยาลัย

ปีการศึกษา 2539

ISBN 974-636-444-8

ลิขสิทธิ์ของบัณฑิตวิทยาลัย จุฬาลงกรณ์มหาวิทยาลัย

**DIFFUSIVITY-MOBILITY RATIO
FOR HEAVILY DOPED SEMICONDUCTORS**

Mr. Jessada Sukpitak

A Thesis Submitted in Partial Fulfillment of the Requirements

for the Degree of Master of Science

Department of Physics

Graduate School

Chulalongkorn University

Academic Year 1996

ISBN 974-636-444-8

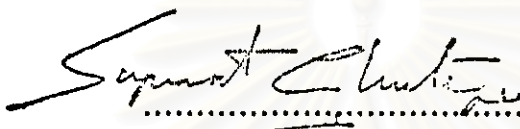
Thesis Title Diffusivity-Mobility Ratio for Heavily Doped Semiconductors

By Mr. Jessada Sukpitak

Department Physics

Thesis Advisor Associate Professor Wichit Sitrakool, Ph.D.

Accepted by the Graduate School, Chulalongkorn University in Partial
Fulfillment of the Requirements for the Degree of Master of Science.

 Dean of Graduate School

(Professor Supawat Chutivongse, M.D.)

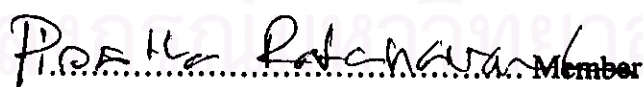
Thesis Committee

 Chairman

(Associate Professor Kitt Visoottiviseth, Ph.D.)

 Thesis Advisor

(Associate Professor Wichit Sitrakool, Ph.D.)

 Member

(Assistant Professor Pisitha Ratanavararaksa, Ph.D.)

 Member

(Assistant Professor Kiranant Ratanathammapan)

พิมพ์ด้นฉบับทั้งหมดวิทยานิพนธ์ภายในกรอบสีเขียวเพียงแผ่นเดียว

C725729 MAJOR PHYSICS

KEY WORD: DIFFUSIVITY-MOBILITY RATIO/ HEAVILY DOPED SEMICONDUCTOR

JESSADA SUKPITAK : DIFFUSIVITY-MOBILITY RATIO FOR HEAVILY DOPED SEMICONDUCTORS.

THESIS ADVISOR : ASSOC. PROF. WICHIT SRITRAKOO, PH.D. 83 PP.

ISBN 974-636-444-8.

For heavily doped semiconductors, the diffusivity-mobility ratio is shown to be dependent on the Thomas-Fermi screening length squared. Within the Thomas-Fermi approximation and by means of the Sommerfeld expansion, we show that the diffusivity-mobility ratio at finite temperatures can be expressed as a series expansion of some function of the density of states. Furthermore, we show that the diffusivity-mobility ratio, in extremely degenerate case is the same from the empirical result. We present numerical calculations of the diffusivity-mobility ratio as a function of net carrier concentration, by taking n-type heavily doped GaAs and using Kane's density of states as an example.

สถาบันวิทยบริการ
จุฬาลงกรณ์มหาวิทยาลัย

ภาควิชา	ฟิสิกส์	อาจารย์เชื่อมติด	แบบรุ่น สุรัชฎ์ กานต์
สาขาวิชา	ฟิสิกส์	อาจารย์เชื่อมติด	ดร. อรุณรัตน์
ปีการศึกษา	2539	อาจารย์เชื่อมติด	-

เจนถ้า ศุภพิทักษ์ : อัตราส่วนระหว่างสภาพแพร่และสภาพเคลื่อนที่ได้สำหรับการกึ่งตัวนำที่

ถูกโคลอปอย่างหนัก (DIFFUSIVITY-MOBILITY RATIO FOR HEAVILY DOPED

SEMICONDUCTORS) อ.ที่ปรึกษา : รศ.ดร. วิชิต ศรีตรุจิ, 83 หน้า.

ISBN 974-636-444-8.

สำหรับการกึ่งตัวนำที่ถูกโคลอปอย่างหนัก เราสามารถแสดงให้เห็นได้ว่า อัตราส่วนระหว่างสภาพแพร่และสภาพเคลื่อนที่ได้เป็นพังก์ชันที่ขึ้นกับกำลังสองของระบบบังโรมก-เฟอร์นิและโดยการใช้วิธีการประมาณแบบโรมก-เฟอร์นิ และการตรวจเช็คเมอร์เฟก์สามารถแสดงให้เห็นได้ว่า อัตราส่วนระหว่างสภาพแพร่และสภาพเคลื่อนที่ได้สามารถเขียนอยู่ในรูปของอนุกรมของพังก์ชันที่ขึ้นกับความหนาแน่นสถานะ นอก จาก กรณี เรา ยัง แสดง ให้ เห็น ได้ว่า อัตราส่วนระหว่างสภาพแพร่และสภาพเคลื่อนที่ได้ในระบบสภาวะแผลตุลจิตร์มีรูปแบบ เช่นเดียวกับที่หาได้จากวิธีอื่น ไฟริกก์ สำหรับการคำนวณเชิงตัวเลขเราพิจารณาเฉพาะแก๊สเดียว อาร์เชอインค์ที่ถูกโคลอปอย่างหนัก โดยใช้ความหนาแน่นสถานะของแก๊ส

สถาบันวิทยบริการ จุฬาลงกรณ์มหาวิทยาลัย

ACKNOWLEDGEMENTS



The author wishes to express his deep gratitude to his supervisor, Assoc. Prof. Wichit Sritrakool for his invaluable advice, guidance and encouragement given throughout this work. Thanks are also due to Prof. Virulh Sa-yakanit, Assoc. Prof. Jong-orn Berananda and Dr. Ahpisit Ungkitchanukit for their help in various ways.

It goes without saying to the thesis committee, Assoc. Prof. Kitt Visoottiviseth, Assist. Prof. Pisisha Ratanavararaksa and Assist. Prof. Kiranant Ratanatummapan for their reading and criticizing the manuscript.

Last but not least, he would like to express his sincere thanks to Miss Supanee Keesuwan for her help in English manuscript.

สถาบันวิทยบริการ
 จุฬาลงกรณ์มหาวิทยาลัย

TABLE OF CONTENTS

	Page
ABSTRACT IN ENGLISH	iv
ABSTRACT IN THAI	v
AGNOWLEDGEMENT	vi
LIST OF FIGURES	ix
LIST OF TABLES	xii
CHAPTER I INTRODUCTION	1
1.1 Preliminary	1
1.2 Outline of thesis	3
CHAPTER II THE GENERALIZED DIFFUSIVITY-	
MOBILITY RATIO	4
CHAPTER III EMPIRICAL DIFFUSIVITY-	
MOBILITY RATIO	9
3.1 A simple accurate expression of the reduced Fermi energy for any reduced carrier density	9
3.2 The empirical diffusivity-mobility ratio	16
CHAPTER IV THE DIFFUSIVITY-MOBILITY RATIO FOR HEAVILY DOPED SEMICONDUCTORS.....	23
4.1 Screening	23

4.1.1 Introduction	23
4.1.2 Thomas-Fermi theory of screening	27
4.2 Heavily doped semiconductors	31
4.2.1 The model	31
4.2.2 Kane's density of states	35
4.3 The diffusivity-mobility ratio for n-type heavily doped semiconductors	45
4.3.1 The diffusivity-mobility ratio for n-type heavily doped semiconductors	45
4.3.2 Numerical evaluation	53
CHAPTER V NUMERICAL RESULTS	57
5.1 Numerical results	57
CHAPTER VI DISCUSSION AND CONCLUSION	72
REFERENCES	76
APPENDIX	79
CURRICULUM VITAE	83

สถาบันวิทยบริการ
จุฬาลงกรณ์มหาวิทยาลัย

LIST OF FIGURES

	Page
Figure 1 Kane's density of states at temperature $T = 10K$, without compensation ($N_a/N_d = 0.0$) for net carrier concentration $N_d - N_a = 1.000 \times 10^{19} \text{ cm}^{-3}$ (— — —), $1.000 \times 10^{18} \text{ cm}^{-3}$ (— — —), $5.000 \times 10^{16} \text{ cm}^{-3}$ (— — — —), and for free particles (— — —)	44
Figure 2 Derivative of Kane's density of states $\Phi(E)$ at temperature $T = 10K$, without compensation ($N_a/N_d = 0.0$) and net carrier concentration $N_d - N_a = 1.000 \times 10^{18} \text{ cm}^{-3}$	48
Figure 3 Flow chart of numerical evaluation of the diffusivity-mobility ratio.	56
Figure 4 Dependence of the diffusivity-mobility ratio on the net carrier concentration $N_d - N_a$ for compensation ratio $N_a/N_d = 0.0$ and temperature $T = 10K$ D/μ : The diffusivity-mobility ratio for n-type heavily doped semiconductors D/μ_0 : The empirical diffusivity-mobility ratio N_{\min} : minimum net carrier concentration for D/μ	60

**Figure 5 Dependence of the diffusivity-mobility ratio
on the net carrier concentration N_d-N_a for compensation ratio
 $N_a/N_d = 0.0$ and temperature $T = 77K$**

D/μ : The diffusivity-mobility ratio for n-type
heavily doped semiconductors

D/μ_0 : The empirical diffusivity-mobility ratio

N_{\min} : minimum net carrier concentration for D/μ 62

**Figure 6 Dependence of the diffusivity-mobility ratio
on the net carrier concentration N_d-N_a for compensation ratio
 $N_a/N_d = 0.0$ and temperature $T = 300K$**

D/μ : The diffusivity-mobility ratio for n-type
heavily doped semiconductors

D/μ_0 : The empirical diffusivity-mobility ratio

N_{\min} : minimum net carrier concentration for D/μ 64

**Figure 7 Dependence of the diffusivity-mobility ratio
on the net carrier concentration N_d-N_a for compensation ratio
 $N_a/N_d = 0.2$ and temperature $T = 10K$**

D/μ : The diffusivity-mobility ratio for n-type
heavily doped semiconductors

D/μ_0 : The empirical diffusivity-mobility ratio

N_{\min} : minimum net carrier concentration for D/μ 66

**Figure 8 Dependence of the diffusivity-mobility ratio
on the net carrier concentration N_d-N_a for compensation ratio
 $N_a/N_d = 0.2$ and temperature $T = 77K$**

**D/μ : The diffusivity-mobility ratio for n-type
heavily doped semiconductors**

D/μ_0 : The empirical diffusivity-mobility ratio

N_{min} : minimum net carrier concentration for D/μ 68

**Figure 9 Dependence of the diffusivity-mobility ratio
on the net carrier concentration N_d-N_a for compensation ratio
 $N_a/N_d = 0.2$ and temperature $T = 300K$**

**D/μ : The diffusivity-mobility ratio for n-type
heavily doped semiconductors**

D/μ_0 : The empirical diffusivity-mobility ratio

N_{min} : minimum net carrier concentration for D/μ 70

สถาบันวิทยบริการ
จุฬาลงกรณ์มหาวิทยาลัย

LIST OF TABLES

		Page
Table 1	Dependence of the diffusivity-mobility ratio on the net carrier concentration N_d-N_a for compensation ratio $N_d/N_d = 0.0$ and temperature $T = 10K$ D/μ : The diffusivity-mobility ratio for n-type heavily doped semiconductors D/μ_0 : The empirical diffusivity-mobility ratio	59
Table 2	Dependence of the diffusivity-mobility ratio on the net carrier concentration N_d-N_a for compensation ratio $N_d/N_d = 0.0$ and temperature $T = 77K$ D/μ : The diffusivity-mobility ratio for n-type heavily doped semiconductors D/μ_0 : The empirical diffusivity-mobility ratio	61
Table 3	Dependence of the diffusivity-mobility ratio on the net carrier concentration N_d-N_a for compensation ratio $N_d/N_d = 0.0$ and temperature $T = 300K$ D/μ : The diffusivity-mobility ratio for n-type heavily doped semiconductors D/μ_0 : The empirical diffusivity-mobility ratio.	63

Table 4	Dependence of the diffusivity-mobility ratio	
	on the net carrier concentration $N_d - N_a$ for compensation ratio	
	$N_a/N_d = 0.2$ and temperature $T = 10K$	
	D/μ : The diffusivity-mobility ratio for n-type	
	heavily doped semiconductors	
	D/μ_0 : The empirical diffusivity-mobility ratio 65	
Table 5	Dependence of the diffusivity-mobility ratio	
	on the net carrier concentration $N_d - N_a$ for compensation ratio	
	$N_a/N_d = 0.2$ and temperature $T = 77K$	
	D/μ : The diffusivity-mobility ratio for n-type	
	heavily doped semiconductors	
	D/μ_0 : The empirical diffusivity-mobility ratio 67	
Table 6	Dependence of the diffusivity-mobility ratio	
	on the net carrier concentration $N_d - N_a$ for compensation ratio	
	$N_a/N_d = 0.2$ and temperature $T = 300K$	
	D/μ : The diffusivity-mobility ratio for n-type	
	heavily doped semiconductors	
	D/μ_0 : The empirical diffusivity-mobility ratio 69	
Table 7	The minimum net carrier concentration, $N_{\min} = (N_d - N_a)_{\min}$,	
	at which $\xi_Q^{1/2} \leq E_f - E_c$ 71	